

文章编号: 1004-4353(2022)01-0013-06

# 基于 POD 方法的广义 KdV-RLW-Rosenau 方程的数值解

张宝玖, 朴光日

( 延边大学 理学院, 吉林 延吉 133002 )

**摘要:** 讨论了 KdV-RLW-Rosenau 方程降维模型的数值解问题. 首先在介绍半离散 B 样条 Galerkin 近似的基础上, 应用 Crank-Nicolson 方法研究了全离散的 B 样条 Galerkin 格式; 然后将适当的特征正交分解(POD)方法应用于广义 KdV-RLW-Rosenau 方程的 Galerkin finite element(GFE)格式, 使其简化为低维度和高精度的 POD GFE 格式; 最后利用数值实验证明了所得结果的正确性.

**关键词:** 特征正交分解; 广义 KdV-RLW-Rosenau 方程; 降维模型; 数值分析

中图分类号: O241.82

文献标识码: A

## The numerical solution of generalized KdV-RLW-Rosenau equations based on POD method

ZHANG Baojiu, PIAO Guangri

( College of Science, Yanbian University, Yanji 133002, China )

**Abstract:** This paper discusses the numerical solution of KdV-RLW-Rosenau in a reduced-order modeling. Firstly, based on the introduction of semi discrete B-spline Galerkin approximation, the fully discrete B-spline Galerkin scheme is studied by using Crank-Nicolson method; And then, a proper orthogonal decomposition (POD) method is applied to a Galerkin finite element (GFE) formulation for generalized KdV-RLW-Rosenau equation such that it is reduced into a POD GFE formulation with lower dimensions and enough high accuracy; Finally, numerical experiments show the correctness of the results.

**Keywords:** proper orthogonal decomposition; generalized KdV-RLW-Rosenau equation; reduced-order modeling; numerical analysis

## 0 引言

本文考虑具有如下初边值问题的单向水波传播的高阶方程:

$$\begin{cases} u_t - \mu u_{xx} - \delta u_{xxt} + \eta u_{xxxx} + \nu u_{xxxxt} + \theta u_{xxx} + f_x(u) = 0, & x \in \Omega, t \in (0, T]; \\ u(x, t) = 0, u_x(x, t) = 0, & x \in \partial\Omega, t \in (0, T]; \\ u(x, 0) = u_0(x), & x \in \Omega. \end{cases} \quad (1)$$

其中:  $f(u) = \alpha u + \frac{\beta}{p+1} u^{p+1}$ ;  $u(x, t)$ 、 $t > 0$  和  $\Omega \in (0, 1)$  分别表示振幅、时间和空间坐标;  $\delta$  和  $\nu$  为

---

收稿日期: 2021-11-22

基金项目: 吉林省科技计划发展项目(20180101215JC)

第一作者: 张宝玖(1997—), 男, 硕士研究生, 研究方向为数值计算.

通信作者: 朴光日(1968—), 男(朝鲜族), 博士, 教授, 研究方向为数值计算.

大于 0 的常数;  $\alpha, \beta, \mu, \eta, \theta$  为任意的参数;  $P$  为非线性项次数,  $P \geq 2$ .

近年来,许多学者研究了非线性偏微分方程的解析和数值问题,并且给出了相对应的模型<sup>[1-5]</sup>. 在此基础上,文献[6]分析了扰动(无黏性)Rosenau-KdV-RLW 方程;文献[7]采用三阶隐式有限差分法求解了 Rosenau-KdV-RLW 方程,并对无黏性 Rosenau-KdV 方程和无黏性 Rosenau-RLW 方程进行了数值求解;文献[8]应用有限元法和局部结构保持技术对无黏性 Rosenau-KdV-RLW 方程进行了数值求解. 基于上述研究,本文运用 POD 方法讨论了 KdV-RLW-Rosenau 方程的数值解问题,并估计了降维模型解与有限元解之间的误差,最后用数值实验验证了本文结果的正确性.

## 1 KdV-RLW-Rosenau 方程的全离散格式

本文使用 Sobolev 空间  $H_0^k(\Omega)$  进行研究,并定义  $H_0^k(\Omega)$  为:

$$H_0^k = \{v \in H^k(\Omega) : \frac{d^j v}{dx^j} = 0 \Big|_{\partial\Omega}, j = 0, 1, \dots, k-1\}.$$

其中  $L^2(\Omega)$ 、 $L^\infty(\Omega)$  和  $H^k(\Omega)$  的范数分别记为  $\|\cdot\|$ 、 $\|\cdot\|_\infty$  和  $\|\cdot\|_k$ , 并定义  $(v, w) = \int_\Omega vw dx$  为  $L^2(\Omega)$  的内积. 为了研究方程(1) 的弱形式,令  $X = H_0^2(\Omega)$ , 并选取  $\chi \in X$ . 对方程(1) 做分部积分后得到的方程(1) 的弱形式为:

$$\begin{cases} (u_t, \chi) + \mu(u_x, \chi_x) + \delta(u_{xt}, \chi_x) + \eta(u_{xx}, \chi_{xx}) + \nu(u_{xxt}, \chi_{xx}) - \theta(u_{xx}, \chi_x) = \\ (f(u), \chi_x), \forall \chi \in X; \\ u(0) = u_0. \end{cases} \quad (2)$$

在本研究中假设  $u$  在时间  $t$  上是足够光滑的,  $C$  表示一个与阶数  $h$  和  $k$  无关的常数,且在不同的情况下  $C$  有不同的值.

**定理 1<sup>[9]</sup>** 令  $u_0 \in X$ , 对于任意的  $T > 0$  存在方程(2) 的唯一解  $u(u(x, 0), \chi) = (u_0, \chi)$  和一个与  $T$  无关的常数  $C$ ,使得  $\|u\|_{L^\infty(H^2(\Omega))} \leq C \|u_0\|_2$ , 其中  $\|u\|_{L^\infty(H^2(\Omega))} = \sup_{t \in [0, T]} \|u(\cdot, t)\|_{H^2(\Omega)}$ .

本文将区间  $[0, 1]$  剖分为  $0 = x_0 < x_1 < \dots < x_I = 1$ , 同时将  $[0, 1]$  划分为子区间  $J_i = (x_{i-1}, x_i)$ . 令  $h = \max_{1 \leq i \leq I} (x_i - x_{i-1})$ , 并将  $X$  的一个子空间定义为:

$$X_h = \{v \in C^1(\Omega), v|_{J_i} \in P_2(J_i), i = 1, \dots, I, v|_{\partial\Omega} = 0, v'|_{\partial\Omega} = 0\}.$$

其中  $P_2(J_i)$  为  $J_i$  上的多项式集合,且其次数小于等于 2. 由此可知该有限元空间满足文献[10] 中的逼近理论.

**引理 1<sup>[9]</sup>** 当  $v \in H^4(\Omega) \cap X$ , 并且  $\chi \in X_h$  时,存在一个与  $h$  无关的常数  $C$  使得

$$\|v - \chi\|_2 \leq Ch^2 \|v\|_4.$$

定义式(2) 的半离散 Galerkin 逼近为: 函数  $u_h : [0, T] \rightarrow X_h$ , 使得

$$\begin{cases} (u_{ht}, \chi) + \mu(u_{hx}, \chi_x) + \delta(u_{hxt}, \chi_x) + \eta(u_{hxx}, \chi_{xx}) + \nu(u_{hxxt}, \chi_{xx}) - \\ \theta(u_{hxx}, \chi_x) = (f(u_h), \chi_x), \chi \in X_h; \\ u_h(0) = u_{h0}. \end{cases} \quad (3)$$

式(3) 中  $u_{h0}$  是  $u_0$  的一个适当近似值.

为了求解半离散(3) 的近似解,用 Crank-Nicolson 差分法对式(3) 在时间上进行全离散. 设  $N$  为一个正整数,  $k$  为时间步长增量( $k = T/N$ ),  $t^n = nk$  ( $0 \leq n \leq N$ ), 并令  $\zeta^n = \zeta(t^n)$ ,  $\partial_t \zeta^n = \frac{\zeta^n - \zeta^{n-1}}{k}$ ,

$\zeta^{n-\frac{1}{2}} = \frac{\zeta^n + \zeta^{n-1}}{2}$ , 则由文献[9] 可知  $u_h^n$  是如下 Galerkin-Crank-Nicolson 全离散形式的解:

$$\begin{cases} (\partial_t u_h^n, \chi) + \delta(\partial_t u_h^n, \chi_x) + \nu(\partial_t u_h^n, \chi_{xx}) + \mu(u_h^{n-\frac{1}{2}}, \chi_x) + \eta(u_h^{n-\frac{1}{2}}, \chi_{xx}) - \\ \theta(u_h^{n-\frac{1}{2}}, \chi_x) = (f(u_h^{n-\frac{1}{2}}), \chi_x), \chi \in X_h; \\ u_h^0 = u_{h0}. \end{cases} \quad (4)$$

式(4)中  $u_{h0} \in X_h$  是  $u_0$  的适当近似值.

## 2 POD 基的构造

构造 POD 基的方法如下:给定有限元空间  $X_h$ 、空间步长  $h$  和时间步长增量  $k$ , 然后通过解方程(4)得到解的集合. 从集合中取  $L$  ( $L \ll N$ ) 个样本点  $u_h^{n_i}(x)$  ( $1 \leq n_1 < n_2 < \dots < n_L \leq N$ ), 这些样本点为 POD 方法中的瞬像. 令  $\mathbf{U}_i(x) = u_h^{n_i}(x)$  ( $1 \leq i \leq L$ ),  $V = \text{span}\{\mathbf{U}_1, \mathbf{U}_2, \dots, \mathbf{U}_L\}$ , 并称  $V$  为由瞬像集  $\{\mathbf{U}_i\}_{i=1}^L$  张成的空间, 其中  $\{\mathbf{U}_i\}_{i=1}^L$  至少有一个非零元. 记  $l = \dim V$ , 并用  $\{\boldsymbol{\psi}_j\}_{j=1}^l$  表示  $l$  维数空间  $V$  的标准正交基, 于是有:

$$\mathbf{U}_i = \sum_{j=1}^l (\mathbf{U}_i, \boldsymbol{\psi}_j)_X \boldsymbol{\psi}_j, \quad i = 1, 2, \dots, L. \quad (5)$$

式(5)中  $(\mathbf{U}_i, \boldsymbol{\psi}_j)_X = (u_h^{n_i}, \boldsymbol{\psi}_{jxx})$ .

构造 POD 方法的目的就是通过求解标准正交基  $\boldsymbol{\psi}_j$  ( $j = 1, 2, \dots, l$ ) 使元素  $\mathbf{U}_i$  ( $1 \leq i \leq L$ ) 与式(5)的  $d$  项和之间的均方误差在平均意义下最小, 即通过求解标准正交基  $\boldsymbol{\psi}_j$  ( $i = 1, 2, \dots, l$ ) 使得

$$\min_{\{\boldsymbol{\psi}_j\}_{j=1}^d} \frac{1}{L} \sum_{i=1}^L \left\| \mathbf{U}_i - \sum_{j=1}^d (\mathbf{U}_i, \boldsymbol{\psi}_j)_X \boldsymbol{\psi}_j \right\|_X^2 \quad (6)$$

满足

$$(\boldsymbol{\psi}_i, \boldsymbol{\psi}_j)_X = \delta_{ij}, \quad 1 \leq i \leq d, \quad 1 \leq j \leq i. \quad (7)$$

式(6)中  $\|\mathbf{U}_i\|_X^2 = \|u_h^{n_i}\|_0^2$ . 式(6)和式(7)的解  $\{\boldsymbol{\psi}_j\}_{j=1}^d$  称为秩等于  $d$  的 POD 基.

引入瞬像集  $\{\mathbf{U}_i\}_{i=1}^L$  对应的相关矩阵  $\mathbf{G} = (\mathbf{G}_{ij})_{L \times L} \in R^{L \times L}$ ,  $\mathbf{G}_{ij} = \frac{1}{L} (\mathbf{U}_i, \mathbf{U}_j)_X$ , 则  $\mathbf{G}$  是秩为  $l$  的非负正定矩阵. 设  $\lambda_1 \geq \lambda_2 \geq \dots \geq \lambda_l > 0$  为矩阵  $\mathbf{G}$  的特征值(特征值对应的标准正交特征向量为  $\mathbf{v}^1, \mathbf{v}^2, \dots, \mathbf{v}^l$ ), 则秩  $d \leq l$  的 POD 基可写为  $\boldsymbol{\psi}_i = \frac{1}{\sqrt{L \lambda_i}} \sum_{j=1}^L (\mathbf{v}^i)_j \mathbf{U}_j$ ,  $1 \leq i \leq d \leq l$ , 其中  $(\mathbf{v}^i)_j$  为特征向量  $\mathbf{v}^i$  的第  $j$  个分量.

令  $X^d = \text{span}\{\boldsymbol{\psi}_1, \boldsymbol{\psi}_2, \dots, \boldsymbol{\psi}_d\}$ , 且定义 Ritz 投影  $P^h : X \rightarrow X_h$  (如果  $P^h$  是被限制为从  $X_h$  到  $X^d$  的 Ritz 投影时, 则将  $P^h$  记为  $P^d$ , 即  $P^h|_{X_h} = P^d : X_h \rightarrow X^d$  和  $P^h : X \setminus X_h \rightarrow X_h \setminus X^d$ ), 则:

$$((P^h \mathbf{U})_{xx}, \mathbf{v}_{hxx}) = (\mathbf{U}_{xx}, \mathbf{v}_{hxx}), \quad \forall \mathbf{v}_h \in X_h. \quad (8)$$

式(8)中  $\mathbf{U} \in X$ , 线性算子  $P^h$  的性质为  $\|(P^h \mathbf{U})_{xx}\| \leq \|\mathbf{U}_{xx}\|, \forall \mathbf{U} \in X$ .

**引理 2** 对于每个  $d$  ( $1 \leq d \leq l$ ), 投影算子  $P^d$  有如下不等式成立:

$$\frac{1}{L} \sum_{i=1}^L \|(u_h^{n_i} - P^d u_h^{n_i})_{xx}\|^2 \leq \sum_{j=d+1}^l \lambda_j; \quad (9)$$

$$\frac{1}{L} \sum_{i=1}^L \|(u_h^{n_i} - P^d u_h^{n_i})_x\|^2 \leq Ch^2 \sum_{j=d+1}^l \lambda_j; \quad (10)$$

$$\frac{1}{L} \sum_{i=1}^L \|u_h^{n_i} - P^d u_h^{n_i}\|^2 \leq Ch^4 \sum_{j=d+1}^l \lambda_j. \quad (11)$$

上式中  $u_h^{n_i} \in V$  是方程(4)的解.

**证明** 由于文献[11] 已经给出不等式(9) 和(11) 的证明过程, 因此在此只证明不等式(10). 已知

$$((\mathbf{U} - P^h \mathbf{U})_x, (\mathbf{U} - P^h \mathbf{U})_x) = ((\mathbf{U} - P^h \mathbf{U})_{xx}, P^h \mathbf{U} - \mathbf{U}) \leq \|(\mathbf{U} - P^h \mathbf{U})_{xx}\| \|P^h \mathbf{U} - \mathbf{U}\|.$$

在该式中如果  $\mathbf{U} = u_h^{n_i}$ ,  $P^h$  是从  $X_h$  到  $X^d$  的 Ritz 投影, 则有  $P^h u_h^{n_i} = P^d u_h^{n_i} \in X^d$ , 故可得:

$$\|(u_h^{n_i} - P^d u_h^{n_i})_x\|^2 \leq \|(u_h^{n_i} - P^d u_h^{n_i})_{xx}\| \cdot \|u_h^{n_i} - P^d u_h^{n_i}\|.$$

再应用不等式  $\sum a_i b_i \leq \sum a_i \sum b_i$  和  $\sum a_i \leq C (\sum a_i^2)^{\frac{1}{2}}$  以及不等式(9) 和(11) 可知式(10) 成立.

### 3 有限元解与降维解之间的误差估计

根据空间  $X^d$  得到方程(2) 的降维格式为:

$$\begin{cases} (\partial_t u_d^n, \chi) + \delta(\partial_t u_{dx}^n, \chi_x) + \nu(\partial_t u_{dxx}^n, \chi_{xx}) + \mu(u_{dx}^{n-\frac{1}{2}}, \chi_x) + \\ \eta(u_{dxx}^{n-\frac{1}{2}}, \chi_{xx}) - \theta(u_{dxx}^{n-\frac{1}{2}}, \chi_x) = (f(u_d^{n-\frac{1}{2}}), \chi_x), \chi \in X^d; \\ u_d^0 = u_{d0}. \end{cases} \quad (12)$$

由文献[11] 可知降维格式(12) 具有唯一解  $u_d^n \in X^d$ , 故式(12) 的稳定性保持不变. 以下利用有限元方法推导形式(12) 的误差估计.

**定理 2** 如果  $u_h^n \in X_h$  是方程(4) 的解, 并且  $u_d^n \in X^d$  是方程(12) 的解, 则当  $k = O(h^{2/3})$ ,  $\ell = O(N^{2/3})$  且均匀选取瞬像时有  $\|u_h^n - u_d^n\|_2 \leq Ck^2 + Ck (\sum_{j=d+1}^l \lambda_j)^{1/2}$ .

**证明** 用方程(4) 减去方程(12), 并取  $\chi = v_d \in X^d$  可得:

$$(\partial_t (u_h^n - u_d^n), v_d) + \delta(\partial_t (u_{hx}^n - u_{dx}^n), v_{dx}) + \nu(\partial_t (u_{hxx}^n - u_{dxx}^n), v_{dxx}) + \mu(u_{hx}^{n-\frac{1}{2}} - u_{dx}^{n-\frac{1}{2}}, v_{dx}) + \\ \eta(u_{hxx}^{n-\frac{1}{2}} - u_{dxx}^{n-\frac{1}{2}}, v_{dxx}) + \theta(u_{hx}^{n-\frac{1}{2}} - u_{dx}^{n-\frac{1}{2}}, v_{dxx}) = (f(u_h^{n-\frac{1}{2}} - u_d^{n-\frac{1}{2}}), v_{dx}). \quad (13)$$

将标准误差  $e = u_h^n - u_d^n$  分解为  $e = u_h^n - u_d^n = u_h^n - P^d u_h^n - (u_d^n - P^d u_h^n) = \xi^n - \varphi^n$ , 并设  $v_d = \varphi^n$ . 于是将  $\xi^n$  和  $\varphi^n$  代入式(13) 有:

$$\|\varphi^n\|^2 + \delta \|\varphi_x^n\|^2 + \nu \|\varphi_{xx}^n\|^2 = (\varphi^{n-1}, \varphi^n) + \delta(\varphi_x^{n-1}, \varphi_x^n) + \nu(\varphi_{xx}^{n-1}, \varphi_{xx}^n) + (\xi^n - \xi^{n-1}, \varphi^n) + \\ \delta(\xi_x^n - \xi_x^{n-1}, \varphi_x^n) + \nu(\xi_{xx}^n - \xi_{xx}^{n-1}, \varphi_{xx}^n) + \frac{k\mu}{2}(\xi_x^n + \xi_x^{n-1}, \varphi_x^n) - \\ \frac{k\mu}{2}(\varphi_x^n + \varphi_x^{n-1}, \varphi_x^n) + \frac{k\eta}{2}(\xi_{xx}^n + \xi_{xx}^{n-1}, \varphi_{xx}^n) - \frac{k\eta}{2}(\varphi_{xx}^n + \varphi_{xx}^{n-1}, \varphi_{xx}^n) + \\ \frac{k\theta}{2}(\xi_x^n + \xi_x^{n-1}, \varphi_{xx}^n) - \frac{k\theta}{2}(\varphi_x^n + \varphi_x^{n-1}, \varphi_{xx}^n) + k(f(u_d^{n-\frac{1}{2}}) - f(u_h^{n-\frac{1}{2}}), \varphi_x^n).$$

应用 Young 不等式、 $f$  的 Lipschitz 条件以及  $\|u_h^n\|_\infty$  和  $\|u_d^n\|_\infty$  的有界性易得:

$$(f(u_d^{n-\frac{1}{2}}) - f(u_h^{n-\frac{1}{2}}), \varphi_x^n) \leq \|f(u_d^{n-\frac{1}{2}}) - f(u_h^{n-\frac{1}{2}})\| \|\varphi_x^n\| \leq kC \|u_h^{n-\frac{1}{2}} - u_d^{n-\frac{1}{2}}\| \|\varphi_x^n\| \leq \\ kC (\|\xi^n\| + \|\varphi^n\| + \|\xi^{n-1}\| + \|\varphi^{n-1}\|) \|\varphi_x^n\| \leq \\ \frac{kC}{4\epsilon} (\|\xi^n\|^2 + \|\varphi^n\|^2 + \|\xi^{n-1}\|^2 + \|\varphi^{n-1}\|^2 + 16\epsilon^2 \|\varphi_x^n\|^2). \quad (14)$$

对不等式(14) 选取足够小的  $k$  和适当的  $\epsilon$ , 可得  $\|\varphi^n\|_2^2 \leq Ch^2 (\sum_{j=1}^n \|\xi_{xx}^j\|^2 + \sum_{j=0}^{n-1} \|\xi^j\|_1^2)$ , 再根据三角不等式以及 POD 的性质可知定理 2 成立.

由定理 2 的假设并结合 Sobolev 不等式可得方程(2) 的解和方程(12) 的解之间的误差估计, 为:

$$\|u^n - u_d^n\|_\infty \leqslant Ch^2 + Ck^2 + Ck \left( \sum_{j=d+1}^l \lambda_j \right)^{1/2}.$$

#### 4 数值实验

**例1** 考虑下列KdV-RLW-Rosenau方程:

$$\begin{cases} u_t - u_{xx} - u_{xxt} + u_{xxxx} + u_{xxxxt} + u_{xxx} + u_x + uu_x = g(x, t), & (x, t) \in (0, 1] \times (0, 10], \\ u(0, t) = u(1, t) = u_x(0, t) = u_x(1, t) = 0, & t \in (0, 10], \\ u(x, 0) = x^2(1-x)^2, & x \in [0, 1]. \end{cases} \quad (15)$$

其中  $g(x, t) = -e^{12t}(12e^t + 7x^2e^t - 6x^3e^t + x^4e^t - 26xe^t - 2x^3 + 10x^4 - 18x^5 + 14x^6 - 4x^7)$ , 精确解为  $u(x, t) = e^{-t}x^2(x-1)^2$ .

表1为方程(15)在  $t=10$  时利用方程(4)所得的误差估计和收敛阶.由表1中的数据可知,常规的GFE解的误差估计受  $h$  和  $k$  的影响较大.

表1 在  $t=10$  时利用方程(4)解方程(15)所得到的解的误差估计和收敛阶

$h$	$k$	$\ u^n - u_h^n\ _\infty$	Order	$\ u^n - u_d^n\ _\infty / (h^2 + k^2)$
1/10	1/10	$2.8080 \times 10^{-8}$	—	$1.4040 \times 10^{-6}$
1/20	1/20	$5.9795 \times 10^{-9}$	2.1670	$1.1959 \times 10^{-6}$
1/40	1/40	$1.4312 \times 10^{-9}$	2.0440	$1.4500 \times 10^{-6}$
1/80	1/80	$3.5376 \times 10^{-10}$	2.0114	$1.1320 \times 10^{-6}$
1/160	1/160	$8.6987 \times 10^{-11}$	2.0166	$1.1134 \times 10^{-6}$

数值实验中假设空间步长  $h=0.01$ , 时间步长  $k=0.05$ , 由此得到的方程(15)的数值解见图1.其中图1(a)为方程(15)利用方程(4)得到的数值解,图1(b)为方程(15)利用方程(12)得到的数值解.由图可以看出,两种方法得到的数值解几乎无差别.

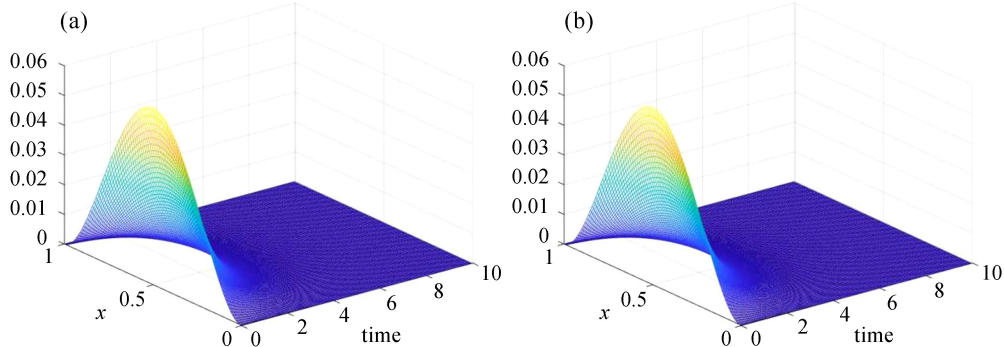


图1 方程(15)的常规GFE解(a)和POD(8基)GFE解(b)

表2为  $t=10, h=0.01, k=0.05$  时方程(15)的POD GFE解的误差估计和收敛速率,其中  $d, \lambda_j$ 、Ratio 分别表示POD基数、特征向量和  $\|u^n - u_d^n\|_\infty / (h^2 + k^2 + k \left( \sum_{j=d+1}^l \lambda_j \right)^{1/2})$ .由表2可以看出,当POD基数不同时方程(15)的误差和收敛速率仍然保持相对稳定.对比表1和表2可知,POD GFE的解显著优于常规GFE的解.

图2为  $t=10, h=0.01, k=0.05$ , POD基数不同时POD GFE解和精确解之间的误差(上部分线段)和常规的GFE解和精确解之间的误差(下部分线段).由图2可以看出,数值实验结果和定理2的结果一致.再结合表2易知,计算POD GFE解所需的时间远少于计算常规的GFE解所需的时间.

表 2 利用方程(12)解方程(15)所得到的解的误差估计和收敛速率

$d$	$k \left( \sum_{j=d+1}^l \lambda_j \right)^{1/2}$	$\  u^n - u_d^n \ _\infty$	Ratio
2	$2.8783 \times 10^{-4}$	$5.8492 \times 10^{-9}$	$2.0255 \times 10^{-6}$
4	$1.8863 \times 10^{-4}$	$5.8043 \times 10^{-9}$	$2.0814 \times 10^{-6}$
6	$1.3610 \times 10^{-4}$	$5.7050 \times 10^{-9}$	$2.0851 \times 10^{-6}$
8	$1.0902 \times 10^{-4}$	$5.6895 \times 10^{-9}$	$2.1001 \times 10^{-6}$
10	$8.1327 \times 10^{-5}$	$5.6828 \times 10^{-9}$	$2.1194 \times 10^{-6}$
12	$5.3441 \times 10^{-5}$	$5.6779 \times 10^{-9}$	$2.1398 \times 10^{-6}$
14	$3.9221 \times 10^{-5}$	$5.6678 \times 10^{-9}$	$2.1475 \times 10^{-6}$
16	$2.5628 \times 10^{-5}$	$5.6641 \times 10^{-9}$	$2.1532 \times 10^{-6}$

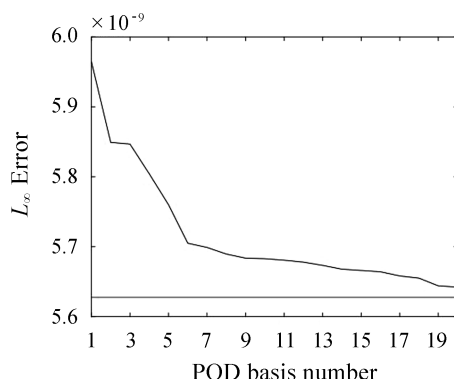


图 2 降维模型解和精确解之间的误差以及常规的 GFE 解和精确解之间的误差

## 参考文献:

- [1] BENJAMIN T B, BONA J L, MAHONY J J. Model equations for long waves in nonlinear dispersive systems[J]. Philosophical Transactions of the Royal Society of London. Series A, Mathematical and Physical Sciences, 1972, 272 (12):47-78.
- [2] KORTEWEG D J, VRIES G D. On the change of form of long waves advancing in a rectangular canal, and on a new type of long stationary waves[J]. Philosophical Magazine, 2011, 91(6):422-443.
- [3] RASLAN K R. A computational method for the regularized long wave (RLW) equation[J]. Applied Mathematics and Computation, 2005, 167(2):1101-1118.
- [4] ESEN A, KUTLUAY S. Application of a lumped Galerkin method to the regularized long wave equation[J]. Applied Mathematics and Computation, 2006, 174(2):833-845.
- [5] ABDULLOEV K O, BOGOLUBSKY I L, MAKHANKOV V G. One more example of inelastic soliton interaction [J]. Physics Letters A, 1976, 56(6):427-428.
- [6] SANCHEZ P, EBADI G, MOJAVER A, et al. Solitons and other solutions to perturbed Rosenau-KdV-RLW equation with power law nonlinearity[J]. Acta Physica Polonica Series A, 2015, 127(6):1577-1587.
- [7] WONGSAIJAI B, POOCHINAPAN K. A three-level average implicit finite difference scheme to solve equation obtained by coupling the Rosenau-KdV equation and the Rosenau-RLW equation[J]. Applied Mathematics and Computation, 2014, 245(7):289-304.
- [8] PAN X T, WANG Y J, ZHANG L M. Numerical analysis of a pseudo-compact CN conservative scheme for the Rosenau-KdV equation coupling with the Rosenau-RLW equation[J]. Boundary Value Problems, 2015, 2015(1):1-17.
- [9] PIAO G G, LEE J Y, CAI G X. Analysis and computational method based on quadratic B-spline FEM for the Rosenau-Burgers equation[J]. Numerical Methods for Partial Differential Equations, 2016, 32(3):877-895.
- [10] PAN X T, ZHENG K L, ZHANG L M. Finite difference discretization of the Rosenau-RLW equation[J]. Applicable Analysis, 2013, 92(12):2578-2589.
- [11] LUO Z D, ZHOU Y J, YANG X Z. A reduced finite element formulation based on proper orthogonal decomposition for Burgers equation[J]. Applied Numerical Mathematics, 2009, 59(8):1933-1946.